

รายการอ้างอิง

ภาษาไทย

จริงแท้ ศิริพานิช. 2542. สุรีวิทยาและเทคโนโลยีหลังการเก็บเกี่ยวผักและผลไม้. กรุงเทพมหานคร

: สำนักพิมพ์มหาวิทยาลัยเกษตรศาสตร์.

นุชจันทร์ เกตุนิล. 2544. ผลไม้อบแห้งของไทยในตลาดย่องงง. วารสารสถาบันอาหาร. 3(16):

50-54.

เบญญาศ ศิล้าย้อย. 2538. กล้วย. กรุงเทพมหานคร: สำนักพิมพ์มหาวิทยาลัยเกษตรศาสตร์.

พานิชย์ ยศปัญญา. 2541. กล้วยในเมืองไทย. กรุงเทพมหานคร: สำนักพิมพ์มดลิน.

มาตรฐานผลิตภัณฑ์อุตสาหกรรม, สำนักงาน. 2528. มาตรฐานผลิตภัณฑ์กล้วยอบ

(มอก.586 – 2528). กระทรวงอุตสาหกรรม: กรุงเทพมหานคร

ส่งเสริมการเกษตร, กรม. 2545. ปริมาณและคุณค่าการส่งออกผลไม้ 2539 - 2545.

กรุงเทพมหานคร: กระทรวงเกษตรและสหกรณ์.

ส่งเสริมการส่งออก, กรม. 2541. การส่งออกผลไม้สดและแปรรูปของไทย. การสัมมนาและ

นิทรรศการกล้วยครบวงจร. หน้า 29-42. (15-17 มกราคม 2541) สำนักพิพิธภัณฑ์ และ

วัฒนธรรมการเกษตร มหาวิทยาลัยเกษตรศาสตร์.

ภาษาอังกฤษ

A.O.A.C. 1995. Official Methods of Analysis. 16th ed. Vol. 2. Washington: Association of Official Analytical Chemists.

Bolin, H. R., and Steele, R. J. 1987. Nonenzymatic browning in dried apples during

storage. Journal of Food Science. 52(6): 1654-1657.

- Brekke, J. E., and Allen, L. 1967. Dehydrated Bananas. Food Technology. 21(10): 101-105.
- Chen, L., Mehta, A., Berenbaum, M., Zangerl, A. R., and Engeseth, N. J. 2000. Honeys from different floral sources as Inhibitors of enzymatic browning in fruit and vegetable homogenates. Journal of Agricultural and Food Chemistry. 48(10): 4997-5000.
- Cocharn, W. C. and Cox, G. M. 1992. Experimental Design. New York: John Wiley & Son.
- CSIRO. 1972. Division of food research circular 8 : Banana ripening guide. Cited in เบญจมาศ ศิลปักษ์ย. 2538. กล้วย. กรุงเทพมหานคร: สำนักพิมพ์มหาวิทยาลัยเกษตรศาสตร์.
- de Gonzalez Lozano, P. G., Barrett, D. M., Wrolstad, R. E., and Durst, R. W. 1993. Enzymatic browning inhibited in fresh and dried apple rings by pineapple juice. Journal of Food Science. 58(2): 399-404.
- Duangmal, K. and Owusu-Apenten, R. K. 1999. A comparative study of polyphenoloxidase from taro (*Colocasia esculenta*) and potato (*Solanum tuberosum* var. Romano). Food Chemistry. 64: 351-359.
- Galeazzi, M. A. M., Sgarbieri, V. C., and Constantinides, S. M. 1981a. Isolation, purification and physiochemical characterization of polyphenol oxidase (PPO) from a dwarf variety of banana (*Musa cavendishii* L.). Journal of Food Science. 46: 150-155.

- Galeazzi, M. A. M., and Sgarbieri, V. C. 1981b. Substrate specificity and inhibition of polyphenol oxidase (PPO) from a dwarf variety of banana (*Musa cavendishii* L.). Journal of Food Science. 46: 1404-1406.
- Iyengar, R. and McEvily, A. J. 1992. Anti-browning agents: alternatives to the use of sulfites in foods. Trends in Food Science & Technology. 3: 60-64.
- Joubert, E., Wium, G.L., and Sadie, A. 2001. Effect of temperature and fruit-moisture content on discolouration of dried, sulphured bon chretien pears during storage. International Journal of Food Science and Technology. 36: 99-105.
- Krokida, M. K., Maroulis, Z. B., and Saravacos, G. D. 2001. The effect of method of drying on the colour of dehydrated products. International Journal of Food Science and Technology. 36: 53-59.
- Laurila, E. K., Hurne, E. U., and Ahvenainen, R. T. 1998. Shelf life of sliced raw potatoes of various cultivar varieties – substitution of bisulfites. Journal of Food Protection. 61(10): 1363-1371.
- Martinez, M. V. and Whitaker, J. R. 1995. The biochemistry and control of enzymatic browning. Trends in Food Science & Technology. 6: 195-199.
- McLellan, M. R., Kime R. W., Lee, C. Y., and Long, T. M. 1995. Effect of honey as an antibrowning agent in light raisin processing. Journal of Food Processing and Preservation. 19(1): 1-8.
- Moline, H. E., Buta, J. G., and Newman, I. M. 1999. Prevention of browning of banana slices using natural products and their derivatives. Journal of Food Quality. 22 (5): 499-511.

Oszmianski, J., and Lee, C. Y. 1990. Inhibition of polyphenol oxidase activity and browning by honey. Journal of Agricultural and Food Chemistry. 38(10): 1892-1895.

Phoungchandang, S., and Woods, J. L. 2000. Moisture diffusion and desorption isotherms for banana. Journal of Food Science. 65(4): 651-657.

Phoungchandang, S., and Woods, J. L. 2000. Solar drying of bananas: mathematical model laboratory simulation, and field data compared. Journal of Food Science. 65 (6): 990-996.

Pizzocaro, F., Torreggiani, D., and Gilardi, G. 1993. Inhibition of apple polyphenoloxidase(PPO) by ascorbic acid, citric acid and sodium chloride. Journal of Food Processing and Preservation. 17(1): 21-30.

Sankat, C. K., Castaigne, F., and Maharaj, R. 1996. The air drying behaviour of fresh and osmotically dehydrated banana slices. International Journal of Food Science and Technology. 31: 123-135.

Sapers, G. M. 1993. Browning of foods : control by sulfites, antioxidants and other means. Food Technology. 47(10): 75-84.

Son, S. M., Moon, K. D., and Lee, C. Y. 2000. Rhubarb juice as a natural antibrowning agent. Journal of Food Science. 65(7): 1288-1289.

Taylor, S. L., and Bush, R. K. 1986. Sulfites as food ingredients. Food Technology. 40(6): 47-52.

Weller, A., Sims, C. A., Matthews, R. F., Bates, R. P., and Brecht, J. k. 1997. Browning susceptibility and change in composition during storage of carambola slices. Journal of Food Science. 62(2): 256-260.

Whitaker J. R. 1972. Principles of Enzymology for the Food Sciences. New York: Marcle Dekker.

Will, R. B. H., Lim, J. S. K., and Greenfield, H. 1984. Changes in chemical composition of cavendish banana (*Musa acuminata*) during ripening. Journal of Food Biochemistry. 8: 69-77.

Yang, C. P., Fujita, S., Ashrafuzzaman, M. D., Nakamura, N., and Hayashi, N. 2000. Purification and characterization of polyphenol oxidase from banana (*Musa sapientum* L.) pulp. Journal of Agricultural and Food Chemistry. 48(7): 2732-2735.

Zawistowski, J., Biliaderis, C. G., and Eskin, N. A. M. 1991. Polyphenol oxidase. In D.S. Robinson and N.A.M. Eskin(eds), Oxidative Enzymes in Foods, pp. 217-273. London: Elsevier Applied Science.

ศูนย์วิทยทรัพยากร
จุฬาลงกรณ์มหาวิทยาลัย



ภาควิชานวัตกรรม

ศูนย์วิทยทรัพยากร จุฬาลงกรณ์มหาวิทยาลัย

ภาคผนวก ก

วิธีวิเคราะห์และตรวจสอบ

ก.1 การวัดค่าความแน่นแข็ง ด้วยเครื่อง Texture analyzer

อุปกรณ์ Texture analyzer รุ่น TA-XT2I และหัว probe ที่ใช้วัด คือ หัวเจาะ p2 มีขนาดเส้นผ่านศูนย์กลาง 2 mm ซึ่งนิยมใช้วัดค่าความแน่นแข็งของผลไม้

ตัวอย่างที่วัด กล้วยน้ำว้าสด

วิธีทดลอง ทำการ calibrate force โดยใช้ตุ้มน้ำหนักมาตรฐาน 5 kg จากนั้นติดตั้งหัวเจาะ (p2 mm) เข้ากับเครื่องวัดลักษณะเนื้อสัมผัส แล้วทำการ calibrate probe โดยกำหนดระยะให้หัววัดห่างจากเทนวงตัวอย่าง 50 mm จากนั้นกำหนดรูปแบบการวัดดังนี้

Mode	:	Measure force in compression
Option	:	Return to start
Pre-test speed	:	2.0 mm/s
Test speed	:	2.0 mm/s
Post-test speed	:	2.0 mm/s
Distance	:	15.0 mm
Trigger Type	:	Auto – 5g
Force Unit	:	grams
Probe Type	:	2 mm cylinder probe (p/2)
Grape Type	:	Force (g) vs Time (sec)

วางแผนกล้วยที่ปอกเปลือกแล้วลงบนแท่นวัด และสั่งให้เครื่องวัดค่าความแน่นแข็ง โดยวัดในผลเดียวกัน 3 จุด จากนั้นเฉลี่ยเป็น 1 ค่า ในแต่ละช้ำใช้ตัวอย่าง 3 ลูก ในขณะวัด เครื่องจะแสดงกราฟความสัมพันธ์ระหว่าง force กับเวลา โดยวัดค่าสูงสุดของ peak แสดงเป็นค่าความแน่นแข็ง (firmness) มีหน่วยเป็น gram

ก.2 ปริมาณน้ำตาลรีดิวซ์ ตามวิธีการของ Lane-Eynon's volumetric method สารเคมี

1. สารละลายเฟลลิง (Fehling's solution)

สารละลายเฟลลิง A เตรียมโดยละลาย copper sulphate pentahydrate ($\text{CuSO}_4 \cdot 5\text{H}_2\text{O}$, AR grade) 34.639 g ในน้ำกลั่น ปรับปริมาตรให้เป็น 500 ml ในขวดปรับปริมาตร
สารละลายเฟลลิง B เตรียมโดยละลาย sodium-potassium-tartrate (Rochelle salt, $\text{KNaC}_4\text{H}_4\text{O}_6 \cdot 4\text{H}_2\text{O}$, AR grade) 173 g และ NaOH 50 g ในน้ำกลั่น ปรับปริมาตรให้เป็น 500 ml ตั้งทิ้งไว้ 2 วัน แล้วจึงนำมากรองตะกอนออกก่อนนำไปใช้

2. methylene blue indicator 0.2%

เตรียมโดยละลาย methylene blue 1 g ใน alcohol เล็กน้อย แล้วเติมน้ำกลั่นและกรอง

การหาค่ามาตรฐานของสารละลายเฟลลิง (standardization of Fehling's solution)

1. เตรียมสารละลายน้ำตาล invert มาตรฐานความเข้มข้น 1% (w/v) โดยละลายซูโครส 9.5000 g ในน้ำกลั่น จากนั้นเติม HCl ปริมาตร 5 ml แล้วปรับปริมาตรสารละลายให้เป็น 100 ml ด้วยน้ำกลั่น ปล่อยให้สารละลายเปลี่ยนเป็นน้ำตาล invert โดยตั้งทิ้งไว้ที่อุณหภูมิห้องอย่างน้อย 3-4 วัน จากนั้นนำสารละลายที่เตรียมได้มาเจือจากให้เป็น 1,000 ml ในขวดปรับปริมาตร สารละลายที่เตรียมได้นี้สามารถเก็บใช้ได้เป็นเวลาหลายเดือน

2. ปีเปตสารละลายที่เตรียมได้จากข้อ 1 มา 25 ml เจือจากด้วยน้ำกลั่นให้เป็น 100 ml ในขวดวัดปริมาตร

3. บรรจุสารละลายในข้อ 2 ลงในบิวเรต โดยสารละลายนี้เรียกว่า titer

4. ปีเปตสารละลายเฟลลิง A และ B มากอย่างละ 5 ml ใส่ลงในขวดรูปชنمพู่ขนาด 500 ml เขย่าให้เข้ากัน

5. ใช้ titer ปริมาตร 19 ml ลงในขวดรูปชنمพู่ซึ่งบรรจุสารละลายเฟลลิงที่ผสมกันแล้ว เขย่าให้เข้ากัน ต้มให้เดือดบนเตา

6. เมื่อต้มเดือดได้ 2 นาที (จับเวลาตั้งแต่เริ่มเดือด) ให้หยด methylene blue indicator ลงไป 2 หยด ถ้าสารละลายเฟลลิงยังคงมีสีน้ำเงินอยู่ ให้ใช้ titer ลงไปอีกครั้งละหยด จนกระทั่งสีน้ำเงินหมดไป โดยที่จุดยุติ (end point) จะสังเกตเห็นตะกอนแดงของ Cu_2O ในระหว่างไตเตอร์ต ต้องให้สารละลายในขวดรูปชنمพู่เดือดตลอดเวลา และควรให้การไตเตอร์สิ้นสุดภายในเวลาไม่เกิน 3 นาที นับตั้งแต่สารเริ่มเดือด บันทึกปริมาตรของสารละลายในบิวเรตหรือ titer ที่ใช้ โดยต้องปรับปริมาตรหรือความเข้มข้นของสารละลาย copper sulphate จนกระทั่งปริมาตรที่ใช้ในการไตเตอร์ได้ 20 ml พอดี (สารละลายเฟลลิง 10 ml จะทำปฏิกิริยาพอดีกับสารละลาย invert 20 ml)

การวิเคราะห์ปริมาณน้ำตาลรีดิวซ์ในกลัวยน้ำร้า

1. เตรียมสารละลายตัวอย่าง โดยนำกลัวย 3-5 กรัม มาปั่นพร้อมกับน้ำอุ่น (ชีบมีอุณหภูมิ 50 °C) 100 ml จากนั้นนำไปหมุนเรียงในเครื่อง centrifuge ความเร็ว 10,000xg เป็นเวลา 10 นาที จดจำนวนที่แผ่นอนของตัวอย่าง รวมทั้งปริมาตรรวมทั้งหมดของสารละลายที่เจือจากตัวอย่าง
2. บรรจุสารละลายตัวอย่างในข้อ 1 ลงในบิวเรต (titer)
3. เตรียมสารละลายเฟอร์ลิง โดยใช้ปริมาตรที่หาได้จากการหาค่ามาตรฐานของสารละลายเฟอร์ลิง บรรจุในขวดรูปซมพูร์ขนาด 500 ml เขย่าให้เข้ากัน
4. ใช้ไถเตอร์ปริมาตร 15 ml ลงในขวดรูปซมพูร์ ชีบบรรจุสารละลายเฟอร์ลิงที่ผสมกันแล้ว เขย่าให้เข้ากัน ต้มให้เดือดบนเตา
5. หลังจากต้มเดือดได้ 15 วินาที หากสารละลายเฟอร์ลิงยังคงมีสีน้ำเงินอยู่ ให้ใช้ titer ลงไปอีกครั้งละ 1 ถึง 5 ml เขย่าโดยไม่ยกขวดรูปซมพูร์ออกจากเตา จนกว่าทั้งสีน้ำเงินของสารละลายเฟอร์ลิงจะหายไป จึงเติม methylene blue ลงไป 2 หยด ไถเตอร์ต่อไปโดยให้ใช้ titer ครั้งละ 1 หยด จนกว่าสีน้ำเงินของ methylene blue จะหายไป ในระหว่างการไถเตอร์ต้องให้สารละลายในขวดรูปซมพูร์เดือดตลอดเวลา และควรให้การไถเตอร์สิ้นสุดภายในเวลาไม่เกิน 3 นาที นับตั้งแต่สารละลายเริ่มเดือด บันทึกปริมาตรของสารละลายในบิวเรตหรือ titer ที่ใช้ไป
6. ต้องมีการไถเตอร์เพื่อทวนค่าปริมาตรที่ได้โดยวิธีการเข่นเดิม แต่เนื่องจากทราบปริมาตรของสารละลายตัวอย่างที่จะใช้วิเคราะห์แล้วจากข้อ 5 ดังนั้นจึงใช้สารละลายตัวอย่างลงในสารละลายเฟอร์ลิงที่เตรียมไว้ในปริมาตรที่น้อยกว่าปริมาตรที่ทราบแล้ว 0.5 – 1.0 ml จากนั้นต้มให้เดือด 2 นาที และจึงเติม methylene blue ลงไป 2 หยด ไถเตอร์ต่อไปโดยให้ใช้ titer ครั้งละ 3 ถึง 4 หยด จนกว่าสีน้ำเงินของ methylene blue จะหายไป การใช้ titer ลงมาแต่ละครั้งควรให้ห่างกันประมาณ 10 วินาที และควรให้การไถเตอร์สิ้นสุดภายในเวลาไม่เกิน 1 นาที นับตั้งแต่เติม methylene blue ลงไป
7. บันทึกปริมาตรของสารละลายในบิวเรตหรือ titer ที่ใช้ไปทั้งหมด โดยปริมาตรของสารละลายตัวอย่างที่ใช้ในการไถเตอร์เพื่อให้เกิดปฏิกิริยาพอดีกับสารละลายเฟอร์ลิง ต้องอยู่ในช่วง 15 ถึง 50 ml
8. คำนวณหาปริมาณน้ำตาลรีดิวซ์ในตัวอย่างและ% น้ำตาลรีดิวซ์ โดยใช้สูตร

$$\text{ปริมาณน้ำตาลรีดิวซ์ (g/100ml)} = \frac{\text{factor} \times 100}{T \times 1000}$$

$$\text{ปริมาณน้ำตาลรีดิวซ์ (%)} = \frac{\text{ปริมาณน้ำตาลรีดิวซ์} \times 100}{W}$$

(คิดเป็นน้ำตาลกลูโคส)

เมื่อ T คือ ปริมาตรสารละลายน้ำอุ่นในบิวเรตหรือ titer ที่ใช้ไป (ml)
 W คือ น้ำหนักเปียกของตัวอย่างที่ใช้ในการเตรียม titer (g)
 Factor เท่ากับ 49.5 เมื่อคิดเป็นน้ำตาลกลูโคส

ก.3 การวัดค่าแรงตัดขาด (Cutting force) ด้วยเครื่อง Texture analyzer

อุปกรณ์ Texture analyzer รุ่น TA-XT2I และหัวที่ใช้วัด คือ ใบมีดที่เป็นหัวตัด (HDP/BSK Blade set with knife) ซึ่งนิยมใช้วัดเนื้อสัมผัสของผลิตภัณฑ์แบบรุปจากผลไม้ โดยแสดงความนิ่ม ความแข็ง และความเหนียวของผลิตภัณฑ์ โดยถ้ามีค่า Force สูง แสดงว่าตัวอย่างที่วัดมีเนื้อสัมผัสที่แข็ง

ตัวอย่างที่วัด กล้วย嗒ก

วิธีทดลอง ทำการ calibrate force โดยใช้ต้มน้ำหนักมาตรฐาน 5 kg จากนั้นติดตั้งแท่นวางตัวอย่าง และใบมีดที่เป็นหัวตัดเข้ากับเครื่องวัดลักษณะเนื้อสัมผัส แล้วกำหนดรูปแบบการวัดดังนี้

Mode	:	Measure force in compression
Option	:	Return to start
Pre-test speed	:	2.0 mm/s
Test speed	:	2.0 mm/s
Post-test speed	:	2.0 mm/s
Distance	:	20.0 mm
Trigger Type	:	Auto – 0.30 N
Force Unit	:	Newton
Probe Type	:	HDP/BSK Blade set with knife
Grape Type	:	Force (g) vs Time (sec)

วางกล้วย嗒กลงบนแท่นวัด แล้วสั่งให้เครื่องวัดค่าแรงตัดขาด โดยให้ใบมีดตัดตามความยาวของชิ้นกล้วย嗒ก ในขณะวัด เครื่องจะแสดงกราฟความสัมพันธ์ระหว่าง force กับเวลา โดยวัดค่าสูงสุดของ peak แสดงเป็น ค่าแรงตัดขาด (Cutting force) มีหน่วยเป็นนิวตัน (N) ลักษณะของกราฟที่ได้แสดงดังรูปที่ ก.1



รูปที่ ก.1 กราฟความสัมพันธ์ระหว่าง Force และ เวลา ที่แสดงค่าแรงตัดขาดของตัวอย่าง

ก 4. การเตรียม crude enzyme PPO จากกล้วยน้ำว้า

นำกล้วยน้ำว้า 200 กรัม มา homogenized กับ สารละลายน้ำ phosphate buffer pH 7.0 ความเข้มข้น 0.2 มิลลิลิตร ปริมาณ 200 ml โดยใช้เครื่องปั่น ปั่นเป็นเวลา 25 วินาที จากนั้นนำไปหมุนเรียบใน refrigerated centrifuge (อุณหภูมิ 4 °C) ที่ความเร็ว 12,000xg เป็นเวลา 25 นาที นำส่วนใสมาตักตะกอนโปรตีนด้วย ammonium sulphate ที่ 80% saturation (ใช้ ammonium sulphate 516 กรัมต่อน้ำเม่า 1 ลิตร) (Scopes, 1994) ที่อุณหภูมิ 0 °C จากนั้นนำไปหมุนเรียบใน refrigerated centrifuge (อุณหภูมิ 4 °C) ความเร็ว 12,000 x g เป็นเวลา 25 นาที นำตะกอน (pellet) ที่ได้มาลอะลายด้วยสารละลายน้ำ phosphate buffer ความเข้มข้น 0.2 M pH 7.0 จำนวน 4 ml เก็บ crude enzyme ที่อุณหภูมิ 0 °C ก่อนนำไปเปริเคราะห์ PPO activity ต่อไป

สารละลายน้ำ phosphate buffer ที่มี pH 7.0 สำหรับละลายตะกอนโปรตีนในการเตรียม crude enzyme เตรียมจากละลายน้ำ potassium dihydrogen phosphate ความเข้มข้น 0.2 มิลลิลิตร และสารละลายน้ำ dipotassium hydrogen phosphate ความเข้มข้น 0.2 มิลลิลิตร ปรับให้มี pH เท่ากับ 7.0

ก.5 การวิเคราะห์ปริมาณโปรตีนด้วยวิธี modified Lowry (Peterson, 1977)

เตรียมสารละลายน้ำ reagent A ด้วยการผสมสารละลายน้ำ copper tartrate carbonate (CTC) (เตรียมโดยคืออย่างๆ เติมสารละลายน้ำ sodium carbonate ความเข้มข้น 20% w/v ลงในสารละลายน้ำ copper sulphate-tartrate ขณะที่คนตลอดเวลา ให้สารละลายน้ำสุดท้ายที่ได้มี copper sulphate pentahydrate ความเข้มข้น 0.1% w/v potassium tartrate ความเข้มข้น 0.2% w/v และ sodium carbonate ความเข้มข้น 10% w/v), sodium dodecyl sulphate (ความเข้มข้น 10% w/v), sodium hydroxide (ความเข้มข้น 0.8 N) และน้ำกลั่นในปริมาตรที่เท่ากัน จากนั้นเตรียมสารละลายน้ำ reagent B โดยการเจือจากสารละลายน้ำ Folin-Ciocalteu phenol reagent (ความเข้มข้น 2.0 N) ด้วยน้ำกลั่น ในอัตราส่วน 1 ต่อ 5

ปีเปต crude enzyme จำนวน 50 μl ใส่ลงใน Eppendorf tube ขนาด 1.5 ml ปรับปริมาตรให้ครบ 1 ml ด้วยน้ำกลั่น เติมสารละลายน้ำ sodium deoxycholate (DOC) ความเข้มข้น 0.15% w/v จำนวน 100 μl ผสมให้เข้ากันโดยใช้ vortex mixer ทิ้งไว้ 10 นาทีที่อุณหภูมิห้อง เติมสารละลายน้ำ trichloroacetic acid 72% w/v จำนวน 100 μl ผสมให้เข้ากันอีกครั้งก่อนนำไปหมุนเรียบที่ความเร็วรอบ 12,000 x g เป็นเวลา 30 นาที เทส่วนไส (supernatant) ทิ้ง เติมสารละลายน้ำ reagent A 1 ml ลงใน Eppendorf tube ที่มีตะกรอนโปรตีนอยู่ ผสมให้เข้ากันก่อนทิ้งไว้ที่อุณหภูมิห้องเป็นเวลา 10 นาที เติมสารละลายน้ำ reagent B จำนวน 0.5 ml ผสมให้เข้ากันอีกครั้ง ก่อนทิ้งไว้ที่อุณหภูมิห้องเป็นเวลา 30 นาทีเพื่อให้เกิดสี นำสารละลายน้ำที่ได้มามาวัดค่าการดูดกลืนแสงที่ความยาวคลื่น 750 นาโนเมตร ค่านวนปริมาณโปรตีนโดยใช้กราฟมาตรฐานที่เตรียมได้จากสารละลายน้ำ bovin serum albumin (BSA) ที่ทราบความเข้มข้นแน่นอน (รูป ก.2)

ก.6 การเตรียมสารละลายน้ำ pH (ช่วง pH 3.0 – 9.0) สำหรับการศึกษา optimum pH และ pH stability ของ crude PPO ในกลัวยน้ำว้า

6.1 สารละลายน้ำ pH ช่วง pH 3.0 – 6.5

ใช้สารละลายน้ำ citric acid – Na₂HPO₄ buffer ที่เตรียมจากสารละลายน้ำ citric acid ความเข้มข้น 0.1 มิลลิกรัม และสารละลายน้ำ disodium hydrogen phosphate ความเข้มข้น 0.2 มิลลิกรัม ปรับให้มี pH ตามต้องการ

6.2 สารละลายน้ำ pH ช่วง pH 6.5 – 8.0

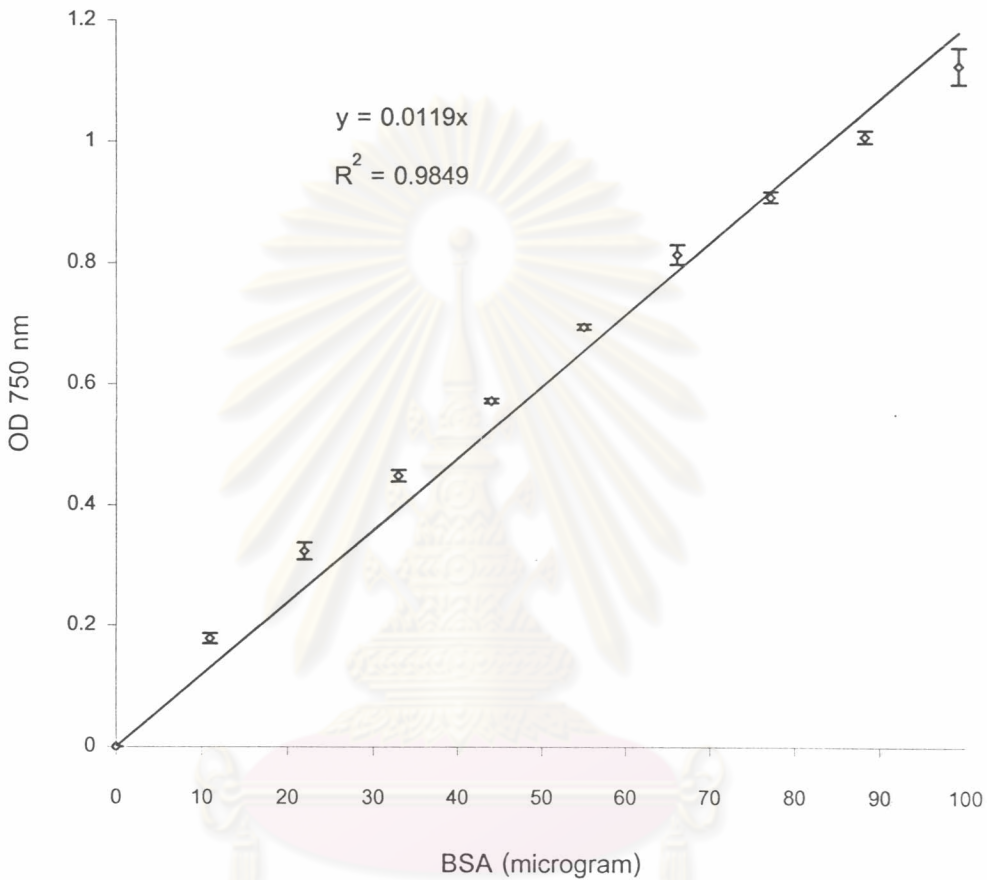
ใช้สารละลายน้ำ phosphate buffer ความเข้มข้น 0.2 มิลลิกรัม ที่เตรียมจากสารละลายน้ำ disodium hydrogen phosphate ความเข้มข้น 0.2 มิลลิกรัม และสารละลายน้ำ sodium dihydrogen phosphate ความเข้มข้น 0.2 มิลลิกรัม ปรับให้มี pH ตามต้องการ

6.3 สารละลายน้ำฟเฟอร์ช่วง pH 8.0 – 9.0

ใช้สารละลายน้ำฟเฟอร์ Clark และ Lubs solution pH 8.0 – 10.2 ความเข้มข้น

0.1 M ที่เตรียมจากสารละลายน้ำฟเฟอร์ potassium chloride และ boric acid ความเข้มข้น

0.1 M และสารละลายน้ำ sodium hydroxide ความเข้มข้น 0.1 M ปรับให้มี pH ตามต้องการ

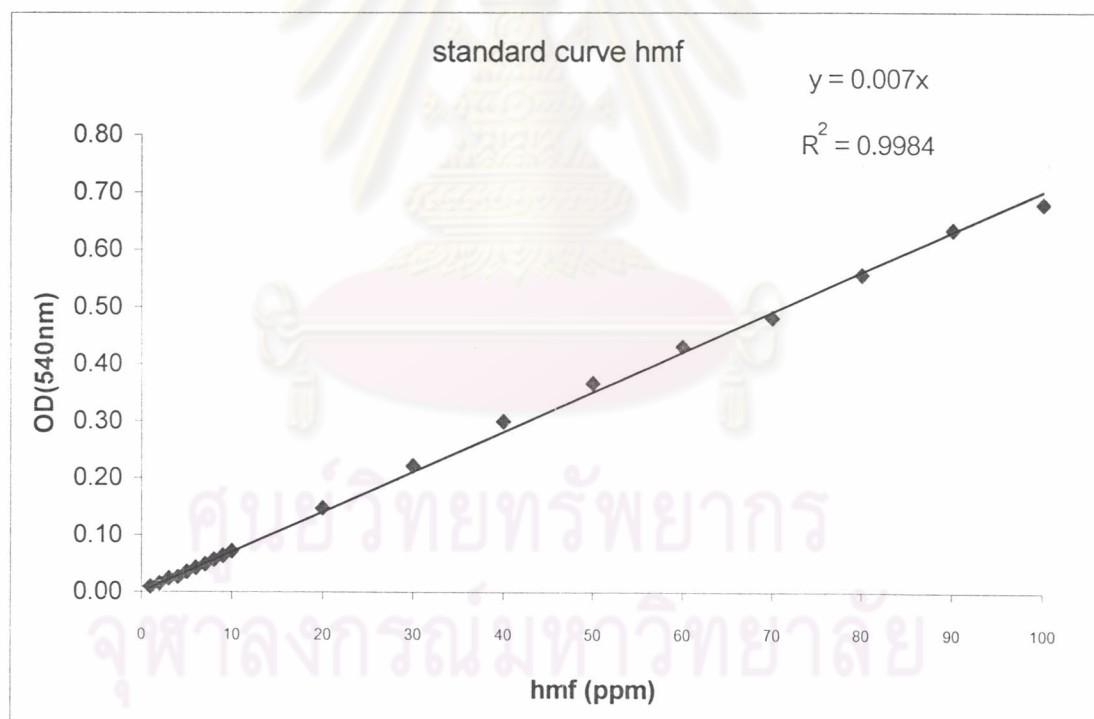


รูปที่ ก.2 กราฟมาตรฐานการวิเคราะห์ปริมาณโปรตีน

ก.7 การวิเคราะห์หาปริมาณ Hydroxymethylfurfural (HMF) ตามวิธีการของ Ranganna (1977)

เตรียมสารละลายน้ำฟเฟอร์โดยซึ่งตัวอย่าง 50 g นำไปปั่นรวมกับน้ำกลันประมาณ 70 ml ด้วยเครื่องปั่น จากนั้นปรับปริมาณตัวอย่างน้ำกลันจนครบ 200 ml นำไปหมุนเรียบด้วยเครื่อง centrifuge ที่ความเร็ว 12,000xg เป็นเวลา 25 นาที นำส่วนใส่ที่ได้มาเติม celite ปริมาณ 1 g แล้วนำไปหมุนเรียบอีกครั้ง ที่ความเร็ว 12,000xg เป็นเวลา 25 นาที นำส่วนใส่ที่ได้มาเติม NaCl

ปริมาณ 10 g ผสมให้เข้ากัน แล้วนำสารละลายที่ได้ใส่ในกรวยแยก (separating funnel) ทำการสกัดสารตัวอย่างด้วยการเติม diethyl ether ลงในกรวยแยกครั้งละ 20 ml ทำการสกัดทั้งหมด 3 ครั้ง จากนั้นนำสารละลายตัวอย่าง (ether extract) แล้วปล่อยให้ระเหยที่อุณหภูมิ 30 °C โดยนำสารละลายตัวอย่างใส่ในภาชนะปากกว้าง เพื่อให้ระเหยได้เร็วขึ้น เมื่อสารตัวอย่างระเหยเกือบหมดแล้วจึงปรับปริมาตรให้เป็น 10 ml ด้วย ethyl alcohol absolute จะได้สารละลายตัวอย่างที่จะนำไปวิเคราะห์ ทำการวิเคราะห์โดยนำสารละลายตัวอย่างที่สกัดได้จำนวน 3 ml มาทำปฏิกิริยา กับ ethyl alcohol absolute (ethanol) จำนวน 3 ml และ 1% resorcinol HCL (ซึ่งเตรียมโดยนำ resorcimol 1 กรัม ละลายใน HCL และปรับปริมาตรให้เป็น 100 ml) จำนวน 3 ml ผสมให้เข้ากัน แล้วนำไปเท็บไว้ในที่มีดเพื่อให้ develop สี (สีแดงซมพู) เป็นเวลา 30 นาที วัดค่าการดูดกลืนแสงที่ความยาวคลื่น 540 nm คำนวนปริมาณ HMF (มีหน่วยเป็น mg/100g (ppm)) โดยใช้กราฟมาตรฐานที่เตรียมได้จากสารละลาย 5- Hydroxymethylfurfural ที่ทราบความเข้มข้นแน่นอน (รูปที่ ก.3)



รูปที่ ก.3 กราฟมาตรฐานการวิเคราะห์ปริมาณ HMF

ภาคผนวก ๖

แบบทดสอบประเมินผลทางประสาทสัมผัสของผลิตภัณฑ์ก้าลวยตาก (แบบทดสอบประเภท hedonic scale (9-score))

แบบทดสอบทางประสาทสัมผัสผลิตภัณฑ์ก้าลวยตาก

ชื่อผู้ทดสอบ..... อายุ..... ปี
วันที่ทำการทดสอบ.....

คำแนะนำ กรุณาทดสอบขึ้นผลิตภัณฑ์ก้าลวยตาก และให้คะแนนตามเกณฑ์ดังนี้

9 คะแนน = ชอบมากที่สุด	5 คะแนน = เฉยๆ
8 คะแนน = ชอบมาก	4 คะแนน = ไม่ชอบเล็กน้อย
7 คะแนน = ชอบปานกลาง	3 คะแนน = ไม่ชอบปานกลาง
6 คะแนน = ชอบเล็กน้อย	2 คะแนน = ไม่ชอบมาก
	1 คะแนน = ไม่ชอบมากที่สุด

รหัสตัวอย่าง

ลักษณะที่ใช้ทดสอบ _____
ลักษณะปรากฏ _____
สี _____
กลิ่นรส _____
เนื้อสัมผัส _____
การยอมรับรวม _____

ข้อเสนอแนะ.....
.....

หมายเหตุ ลักษณะปรากฏ หมายถึง การเรียกว่าของผลิตภัณฑ์

ภาคผนวก ค

ตารางที่ ค.1 ความสัมพันธ์ระหว่างปริมาณความชื้นของกล้วยที่มีระยะเวลาสุก 5 กับเวลาที่ใช้ในการอบแห้ง โดยอุณหภูมิ 60 °C 65 °C และ 70 °C ใน การอบแห้ง

เวลาในการอบแห้ง (ชั่วโมง)	ปริมาณความชื้นของกล้วย (%น้ำหนักเปียก)		
	อุณหภูมิที่ใช้ในการอบแห้งด้วยลมร้อน (°C)		
	60	65	70
0	66.47±0.19	65.64±0.72	65.84±0.27
1	60.75±0.17	58.06±0.22	55.00±0.41
2	56.56±1.00	53.18±0.82	48.00±0.30
3	51.78±0.78	47.60±0.17	44.23±0.10
4	47.28±0.59	42.97±0.64	39.00±0.43
5	42.43±0.68	39.12±0.27	32.81±0.32
6	37.60±0.83	35.26±1.09	29.07±0.21
7	33.11±0.48	31.84±0.58	26.70±2.25
8	30.20±0.47	27.51±1.13	22.12±0.40
9	25.95±1.00	23.48±0.45	21.26±0.27
10	25.21±1.27	21.62±0.38	18.02±0.97
11	22.02±0.40	19.61±0.70	16.14±0.88
12	21.53±0.35	17.30±0.90	15.00±0.23
13	19.58±0.10	15.05±0.38	12.56±0.36
14	18.23±1.02	14.10±1.20	11.19±0.13
15	16.46±0.14	13.40±1.10	10.83±1.29
16	15.67±0.27	13.02±0.79	10.19±0.19

ตารางที่ ค.2 ความสัมพันธ์ระหว่างปริมาณความชื้นของกลั่วที่มีระยะเวลาที่ใช้ในการอบแห้ง โดยใช้อุณหภูมิ 60 °C 65 °C และ 70 °C ใน การอบแห้ง

เวลาในการ อบแห้ง (ชั่วโมง)	ปริมาณความชื้นของกลั่ว (%น้ำหนักเปียก)		
	อุณหภูมิที่ใช้ในการอบแห้งด้วยลมร้อน (°C)		
	60	65	70
0	66.63±0.27	66.96±0.24	67.00±0.28
1	60.86±0.69	58.83±0.29	55.32±0.15
2	56.70±1.13	53.62±1.80	48.16±0.30
3	51.89±0.72	47.79±1.15	44.72±0.19
4	48.34±0.54	43.26±0.79	36.09±1.76
5	43.71±0.75	40.11±0.08	32.87±0.71
6	40.87±1.31	37.47±0.55	29.54±0.97
7	35.66±0.57	32.30±0.84	26.75±0.58
8	31.51±0.21	28.13±0.23	23.07±0.34
9	29.13±0.73	24.70±0.88	21.35±0.26
10	26.10±0.26	22.27±0.44	18.28±0.30
11	23.02±0.27	19.93±0.41	16.29±2.20
12	21.76±0.61	17.47±1.22	14.89±0.54
13	19.62±0.16	15.48±0.25	12.73±0.58
14	18.10±0.57	14.69±0.46	11.52±0.47
15	16.70±0.68	13.17±1.04	11.20±0.44
16	15.82±0.16	12.42±0.09	10.46±0.35

ศูนย์วิจัยพัฒนาการ
ปุ่มกรัมมหาวิทยาลัย

ตารางที่ ค.3 ความสัมพันธ์ระหว่างปริมาณความชื้นของกล้วยที่มีระดับสุก 7 กับเวลาที่ใช้ในการอบแห้ง โดยใช้อุณหภูมิ 60 °C 65 °C และ 70 °C ใน การอบแห้ง

เวลาในการ อบแห้ง (ชั่วโมง)	ปริมาณความชื้นของกล้วย (%น้ำหนักเปียก)			
	อุณหภูมิที่ใช้ในการอบแห้งด้วยลมร้อน (°C)	60	65	70
0	67.97 \pm 0.55	70.20 \pm 0.28	68.55 \pm 0.44	
1	61.15 \pm 1.03	58.92 \pm 0.21	55.51 \pm 0.82	
2	57.00 \pm 1.10	53.85 \pm 0.35	48.63 \pm 0.22	
3	52.61 \pm 0.50	48.09 \pm 0.68	45.00 \pm 0.27	
4	49.72 \pm 0.30	43.74 \pm 0.25	39.90 \pm 0.36	
5	44.29 \pm 1.62	40.35 \pm 0.29	33.00 \pm 0.40	
6	41.19 \pm 0.10	37.80 \pm 0.23	30.87 \pm 1.94	
7	35.45 \pm 0.91	32.80 \pm 0.57	25.62 \pm 0.76	
8	32.30 \pm 2.22	28.14 \pm 0.52	23.18 \pm 0.35	
9	30.17 \pm 0.37	25.14 \pm 0.05	21.83 \pm 1.14	
10	26.43 \pm 0.68	22.47 \pm 0.25	18.52 \pm 0.39	
11	24.81 \pm 0.26	20.70 \pm 0.37	16.41 \pm 0.26	
12	21.92 \pm 0.54	18.36 \pm 1.13	15.24 \pm 0.33	
13	20.46 \pm 0.96	16.59 \pm 0.26	12.85 \pm 2.12	
14	18.98 \pm 0.53	15.42 \pm 0.53	11.73 \pm 0.38	
15	16.89 \pm 0.27	14.88 \pm 0.19	11.38 \pm 0.22	
16	15.68 \pm 0.18	13.18 \pm 0.18	11.12 \pm 0.73	

จุฬาลงกรณ์มหาวิทยาลัย

ตารางที่ ค.4 ความสัมพันธ์ระหว่างค่า Aw ของกล้วยที่มีระยะเวลาสุก 5 กับเวลาที่ใช้ในการอบแห้ง โดยใช้อุณหภูมิ 60 °C 65 °C และ 70 °C ในการอบแห้ง

เวลาในการ อบแห้ง (ชั่วโมง)	ค่า Aw		
	อุณหภูมิที่ใช้ในการอบแห้งตัวอย่างร้อน (°C)		
	60	65	70
0	0.971±0.002	0.968±0.003	0.970±0.003
1	0.968±0.010	0.920±0.003	0.870±0.014
2	0.955±0.006	0.910±0.022	0.861±0.008
3	0.937±0.004	0.889±0.008	0.837±0.009
4	0.922±0.023	0.855±0.007	0.810±0.011
5	0.868±0.012	0.810±0.013	0.785±0.014
6	0.838±0.003	0.794±0.006	0.754±0.004
7	0.820±0.003	0.762±0.010	0.705±0.006
8	0.785±0.007	0.714±0.004	0.660±0.010
9	0.740±0.002	0.660±0.002	0.631±0.019
10	0.710±0.011	0.634±0.009	0.585±0.004
11	0.666±0.018	0.614±0.004	0.560±0.003
12	0.636±0.010	0.584±0.004	0.529±0.007
13	0.620±0.006	0.553±0.009	0.500±0.013
14	0.594±0.022	0.535±0.022	0.470±0.023
15	0.576±0.003	0.522±0.004	0.453±0.001
16	0.555±0.008	0.516±0.026	0.442±0.004

จุฬาลงกรณ์มหาวิทยาลัย

ตารางที่ ค.5 ความสัมพันธ์ระหว่างค่า Aw ของกล้วยที่มีระยะเวลาสุก 6 วันเวลาที่ใช้ในการอบแห้ง โดยใช้อุณหภูมิ 60 °C 65 °C และ 70 °C ในการอบแห้ง

เวลาในการ อบแห้ง (ชั่วโมง)	ค่า Aw		
	อุณหภูมิที่ใช้ในการอบแห้งด้วยลมร้อน (°C)		
	60	65	70
0	0.970±0.001	0.965±0.002	0.966±0.003
1	0.966±0.006	0.917±0.003	0.869±0.011
2	0.951±0.004	0.905±0.013	0.851±0.025
3	0.932±0.001	0.887±0.034	0.834±0.027
4	0.893±0.015	0.844±0.006	0.792±0.003
5	0.856±0.012	0.810±0.009	0.770±0.005
6	0.826±0.002	0.785±0.013	0.725±0.020
7	0.805±0.032	0.753±0.009	0.677±0.019
8	0.764±0.012	0.709±0.004	0.656±0.002
9	0.734±0.003	0.662±0.007	0.625±0.013
10	0.705±0.010	0.625±0.005	0.580±0.003
11	0.664±0.002	0.610±0.005	0.530±0.015
12	0.625±0.004	0.560±0.009	0.492±0.040
13	0.618±0.005	0.540±0.008	0.460±0.024
14	0.570±0.013	0.520±0.003	0.450±0.006
15	0.560±0.003	0.514±0.001	0.437±0.012
16	0.546±0.015	0.511±0.004	0.423±0.006

ตารางที่ ค.6 ความสัมพันธ์ระหว่างค่า Aw ของกล้ายที่มีระยะเวลาสุก 7 กับเวลาที่ใช้ในการอบแห้ง โดยใช้อุณหภูมิ 60 °C 65 °C และ 70 °C ในการอบแห้ง

เวลาในการ อบแห้ง (ชั่วโมง)	ค่า Aw		
	อุณหภูมิที่ใช้ในการอบแห้งด้วยลมร้อน (°C)		
	60	65	70
0	0.968±0.002	0.960±0.002	0.963±0.005
1	0.960±0.007	0.916±0.014	0.867±0.013
2	0.940±0.021	0.902±0.021	0.850±0.023
3	0.932±0.002	0.893±0.006	0.830±0.020
4	0.900±0.022	0.847±0.006	0.791±0.014
5	0.860±0.004	0.805±0.006	0.750±0.028
6	0.821±0.001	0.766±0.036	0.718±0.001
7	0.800±0.012	0.742±0.005	0.660±0.009
8	0.760±0.003	0.706±0.011	0.643±0.038
9	0.729±0.001	0.660±0.021	0.624±0.019
10	0.684±0.009	0.622±0.010	0.580±0.004
11	0.653±0.013	0.598±0.018	0.554±0.004
12	0.621±0.003	0.564±0.013	0.500±0.015
13	0.590±0.006	0.531±0.010	0.460±0.011
14	0.588±0.013	0.523±0.024	0.438±0.003
15	0.551±0.003	0.521±0.002	0.433±0.012
16	0.542±0.006	0.508±0.003	0.423±0.010

ตารางที่ ค.7 ค่าสี L* ของกลั่วยก่อนแข็ง, หลังแข็งสารควบคุมการเกิดสีน้ำตาล และกลั่วยกดัก

สารป้องกัน การเกิดสีน้ำตาล	L* ก่อนแข็ง	L* หลังแข็ง	L* กลั่วยกดัก
น้ำกลั่น	77.71±0.33	70.22±1.55	53.05±0.14
Asc 0.5%	77.06±1.38	70.82±0.10	48.91±0.43
Asc 1.0%	77.59±0.30	70.87±1.36	55.13±1.68
Asc 1.5%	77.41±0.93	71.10±1.52	56.14±1.43
Asc 0.5% + CA 0.5%	77.07±0.27	71.95±0.87	55.94±2.15
Asc 0.5%+ PJ	76.03±1.40	71.64±0.12	54.59±0.60
Asc 0.5% + H 5%	76.12±0.77	70.86±2.14	52.05±1.02
S 0.1%	76.51±1.02	71.05±1.40	56.34±1.59

(Asc = กรดแอล酇โคโรบิก, CA = กรดซิตริก, PJ = น้ำสับปะรด, H = น้ำผึ้ง, S = โซเดียมเมต้าไบซัลไฟต์)

ตารางที่ ค.8 ค่าสี a* ของกลั่วยก่อนแข็ง, หลังแข็งสารควบคุมการเกิดสีน้ำตาล และกลั่วยกดัก

สารป้องกัน การเกิดสีน้ำตาล	a* ก่อนแข็ง	a* หลังแข็ง	a* กลั่วยกดัก
น้ำกลั่น	-1.51±0.21	-0.68±0.45	7.60±0.35
Asc 0.5%	-1.49±0.19	-0.99±0.57	9.86±0.23
Asc 1.0%	-1.60±0.22	-1.35±0.29	8.05±1.31
Asc 1.5%	-1.47±0.38	-1.28±0.42	7.46±0.81
Asc 0.5% + CA 0.5%	-1.49±0.28	-1.35±0.36	6.49±1.07
Asc 0.5%+ PJ	-1.30±0.27	-1.13±0.39	7.59±0.51
Asc 0.5% + H 5%	-1.26±0.31	-1.05±0.53	8.51±0.12
S 0.1%	-1.22±0.31	-0.92±0.82	7.67±0.50

(Asc = กรดแอล酇โคโรบิก, CA = กรดซิตริก, PJ = น้ำสับปะรด, H = น้ำผึ้ง, S = โซเดียมเมต้าไบซัลไฟต์)

ตารางที่ ค.9 ค่าสี b^* ของกลั่นก่อนแข็ง, หลังแข็งสารควบคุมการเกิดสีน้ำตาล และกลั่นตาก

สารป้องกัน การเกิดสีน้ำตาล	b^* ก่อนแข็ง	b^* หลังแข็ง	b^* กลั่นตาก
น้ำกลั่น	17.42 ± 0.56	21.43 ± 1.68	28.17 ± 2.28
Asc 0.5%	17.61 ± 0.60	21.73 ± 0.62	27.35 ± 1.63
Asc 1.0%	17.52 ± 0.30	20.42 ± 0.02	31.21 ± 2.95
Asc 1.5%	18.15 ± 0.53	21.44 ± 0.29	30.57 ± 0.80
Asc 0.5% + CA 0.5%	18.15 ± 0.75	21.71 ± 0.51	28.69 ± 0.55
Asc 0.5%+ PJ	18.65 ± 1.27	21.98 ± 0.37	28.31 ± 0.15
Asc 0.5% + H 5%	18.48 ± 1.17	21.17 ± 0.74	27.74 ± 1.53
S 0.1%	17.70 ± 0.94	21.74 ± 1.48	28.34 ± 1.08

(Asc = กรดแอกซิคิวบิก, CA = กรดซิตริก, PJ = น้ำสับปะรด, H = น้ำผึ้ง, S = โซเดียมเมต้าไบชัลไฟต์)

ศูนย์วิทยทรัพยากร
จุฬาลงกรณ์มหาวิทยาลัย

ภาคผนวก ง

**ตารางที่ ง.1 การวิเคราะห์ความแปรปรวนของค่าสีเปลือก L* a* b* ของกล้วยน้ำว้า
ที่ระยการสุกต่างๆ**

Source of variance	df	MS		
		L*	a*	b*
ระยะการสุก	5	199.65*	127.86*	151.52*
Error	12	1.43	1.21	5.26

* แตกต่างกันอย่างมีนัยสำคัญ ($p<0.05$)

**ตารางที่ ง.2 การวิเคราะห์ความแปรปรวนของค่าความแน่นแข็งของกล้วยน้ำว้าที่ระยการสุก
ต่างๆ**

Source of variance	df	MS
ระยะการสุก	5	9,8867.05*
Error	12	400.43

* แตกต่างกันอย่างมีนัยสำคัญ ($p<0.05$)

**ตารางที่ ง.3 การวิเคราะห์ความแปรปรวนของปริมาณความชื้นของกล้วยน้ำว้าที่ระยการสุก
ต่างๆ**

Source of variance	df	MS
ระยะการสุก	5	20.80*
Error	12	0.13

* แตกต่างกันอย่างมีนัยสำคัญ ($p<0.05$)

ตารางที่ ง.4 การวิเคราะห์ความแปรปรวนของค่า pH ของกล้วยน้ำว้า ที่ระยการสุกต่างๆ

Source of variance	df	MS
ระยะการสุก	5	1.14*
Error	12	0.00

* แตกต่างกันอย่างมีนัยสำคัญ ($p<0.05$)

ตารางที่ ๔.๕ การวิเคราะห์ความแปรปรวนของปริมาณกรดของกลัวยน้ำว้าที่ระยะการสูกต่างๆ

Source of variance	df	MS
ระยะการสูก	5	0.01*
Error	12	0.00

* แตกต่างกันอย่างมีนัยสำคัญ ($p<0.05$)

ตารางที่ ๔.๖ การวิเคราะห์ความแปรปรวนของ %TSS ของกลัวยน้ำว้า ที่ระยะการสูกต่างๆ

Source of variance	df	MS
ระยะการสูก	4	86.94*
Error	10	0.01

* แตกต่างกันอย่างมีนัยสำคัญ ($p<0.05$)

ตารางที่ ๔.๗ การวิเคราะห์ความแปรปรวนของปริมาณน้ำตาลรีดิวช์ของกลัวยน้ำว้า ที่ระยะการสูกต่างๆ

Source of variance	df	MS
ระยะการสูก	2	15.39*
Error	6	0.02

* แตกต่างกันอย่างมีนัยสำคัญ ($p<0.05$)

ตารางที่ ๔.๘ การวิเคราะห์ความแปรปรวนของปริมาณความชื้นของกลัวยตาก โดยแบ่ง ระยะการสูกของกลัวย และอุณหภูมิที่ใช้ในการอบแห้งด้วยลมร้อนต่างกัน

Source of variance	df	MS
ระยะการสูก (A)	2	8.69×10^{-2}
อุณหภูมิ (B)	2	0.99
AB	4	0.50
Error	18	0.66

ตารางที่ ๔.๙ การวิเคราะห์ความแปรปรวนของค่า Aw ของกลัวยตากโดยแบ่งตาม
สุกของกลัว และอุณหภูมิที่ใช้ในการอบแห้งด้วยลมร้อนต่างกัน

Source of variance	df	MS
ระยะการสุก (A)	2	1.37×10^{-4}
อุณหภูมิ (B)	2	1.15×10^{-4}
AB	4	9.23×10^{-6}
Error	18	3.33×10^{-5}

ตารางที่ ๔.๑๐ การวิเคราะห์ความแปรปรวนของเนื้อสัมผัสของกลัวยตาก โดยแบ่งตาม
การสุกของกลัว และอุณหภูมิที่ใช้ในการอบแห้งด้วยลมร้อนต่างกัน

Source of variance	df	MS
ระยะการสุก (A)	2	4.80
อุณหภูมิ (B)	2	499.50*
AB	4	0.26
Error	18	2.33

* แตกต่างกันอย่างมีนัยสำคัญ ($p < 0.05$)

ตารางที่ ๔.๑๑ การวิเคราะห์ความแปรปรวนของค่า系数 L* a* b* ของกลัวยตาก โดยแบ่ง
ตามการสุกของกลัว และอุณหภูมิที่ใช้ในการอบแห้งด้วยลมร้อนต่างกัน

Source of variance	df	MS		
		L*	a*	b*
ระยะการสุก (A)	2	127.46*	9.97*	13.18*
อุณหภูมิ (B)	2	42.69*	7.90*	60.79*
AB	4	2.03	0.38	7.10*
Error	18	3.96	0.62	1.18

* แตกต่างกันอย่างมีนัยสำคัญ ($p < 0.05$)

ตารางที่ ง.12 การวิเคราะห์ความแปรปรวนของคะแนนความชอบทางด้านประสิทธิภาพของกลัวยตาก โดยแบ่งยกระดับสุกของกลัวย และอุณหภูมิที่ใช้ในการอบแห้งด้วยลมร้อนต่างกัน

Source of variance	df	MS				
		ลักษณะ	สี	กลิ่นรส	เนื้อสัมผัส	การยอมรับรวม
ปรากฏ						
ระยะการสุก (A)	2	42.47*	53.33*	5.86*	4.05*	9.75*
อุณหภูมิ (B)	1	24.07*	17.60*	35.27*	3.27*	28.02*
AB	2	8.12*	11.53*	0.25	0.25	0.53
ผู้ทดสอบ	19	10.15	8.34	10.48	9.93	10.43
Error	215	1.54	1.47	1.24	1.27	1.22

* แตกต่างกันอย่างมีนัยสำคัญ ($p<0.05$)

ตารางที่ ง.13 การวิเคราะห์ความแปรปรวนของค่าสี ΔL^* Δa^* Δb^* ของกลัวยก่อนและหลังเข้าสารป้องกันการเกิดเส้น้ำตาล

Source of variance	df	MS		
		ΔL^*	Δa^*	Δb^*
สารป้องกัน	7	2.98	0.16	0.87
การเกิดเส้น้ำตาล				
Error	16	2.45	0.18	1.54

* แตกต่างกันอย่างมีนัยสำคัญ ($p<0.05$)

ตารางที่ ง.14 การวิเคราะห์ความแปรปรวนของค่าสี L^* a^* b^* ของกลัวยตากที่ผ่านการเข้าสารป้องกันการเกิดเส้น้ำตาลชนิดต่างๆ

Source of variance	df	MS		
		L^*	a^*	b^*
สารป้องกัน	7	19.74*	2.01*	5.58
การเกิดเส้น้ำตาล				
Error	16	1.71	0.69	2.63

* แตกต่างกันอย่างมีนัยสำคัญ ($p<0.05$)

**ตารางที่ ง.15 การวิเคราะห์ความแปรปรวนของค่า HMF ของกลั่วyatที่ผ่านการแข่ง
สารป้องกันการเกิดสีน้ำตาลชนิดต่างๆ**

Source of variance	df	MS
สารป้องกันการเกิดสีน้ำตาล	7	0.79*
Error	16	0.06

* แตกต่างกันอย่างมีนัยสำคัญ ($p<0.05$)

**ตารางที่ ง.16 การวิเคราะห์ความแปรปรวนของค่าแรงตัดขาดของกลั่วยyatที่ผ่านการ
แข่งสารป้องกันการเกิดสีน้ำตาลชนิดต่างๆ**

Source of variance	df	MS
สารป้องกันการเกิดสีน้ำตาล	7	62.72*
Error	16	17.23

* แตกต่างกันอย่างมีนัยสำคัญ ($p<0.05$)

**ตารางที่ ง.17 การวิเคราะห์ความแปรปรวนของคะแนนความชอบทางด้านประสาท
สมผัสของกลั่วยyatที่ผ่านการแข่งสารป้องกันการเกิดสีน้ำตาลชนิดต่างๆ**

Source of variance	df	MS				
		ลักษณะ	สี	กลิ่นรส	เนื้อสัมผัส	การยอมรับรวม
สารป้องกันการเกิดสีน้ำตาล	7	8.85*	12.11*	17.41*	9.12*	20.66*
ผู้ทดสอบ	19	6.99	7.75	8.46	7.75	6.82
Error	133	1.45	1.23	1.02	0.98	0.76

* แตกต่างกันอย่างมีนัยสำคัญ ($p<0.05$)

ตารางที่ ง.18 การวิเคราะห์ความแปรปรวนของค่าสี L* a* b* ของกลั่ยตากในระหว่างเก็บรักษาโดยแบ่งนิดของสารป้องกันการเกิดสีน้ำตาล สภาวะในการบรรจุ และเวลาในการเก็บรักษาต่างกัน

Source of variance	df	MS		
		L*	a*	b*
สารป้องกันการเกิดสีน้ำตาล (A)	4	110.50*	4.29*	91.14*
สภาวะการบรรจุ (B)	1	3.51	2.74×10^{-2}	4.91*
AB	4	0.30	0.17	1.75
เวลา (C)	12	497.15*	33.19*	301.48*
AC	48	4.54*	1.08*	2.48*
BC	12	0.69	0.83	3.95*
ABC	48	0.83	0.18	1.50
Error	130	1.51	0.50	1.24

* แตกต่างกันอย่างมีนัยสำคัญ ($p < 0.05$)

ตารางที่ ง.19 การวิเคราะห์ความแปรปรวนของปริมาณ HMF ของกลั่ยตากในระหว่างเก็บรักษาโดยแบ่งนิดของสารป้องกันการเกิดสีน้ำตาล สภาวะในการบรรจุ และเวลาในการเก็บรักษาต่างกัน

Source of variance	df	MS
สารป้องกันการเกิดสีน้ำตาล (A)	4	9.81*
สภาวะการบรรจุ (B)	1	2.52×10^{-2}
AB	4	5.19×10^{-3}
เวลา (C)	3	150.24*
AC	12	2.03*
BC	3	2.55×10^{-4}
ABC	12	2.32×10^{-3}
Error	40	0.15

* แตกต่างกันอย่างมีนัยสำคัญ ($p < 0.05$)

ตารางที่ ง.20 การวิเคราะห์ความแปรปรวนของค่าแรงตัดขาดของกลัวยตากในระหว่างเก็บรักษา โดยแปรปรวนดัชนีของสารป้องกันการเกิดสีน้ำตาล สภาวะในการบรรจุ และเวลาในการเก็บรักษาต่างกัน

Source of variance	df	MS
สารป้องกันการเกิดสีน้ำตาล (A)	4	16.31*
สภาวะการบรรจุ (B)	1	1.11
AB	4	1.40
เวลา (C)	3	14.64*
AC	12	1.38*
BC	3	1.27
ABC	12	1.30*
Error	40	0.57

* แตกต่างกันอย่างมีนัยสำคัญ ($p<0.05$)

ตารางที่ ง.21 การวิเคราะห์ความแปรปรวนของคะแนนความชอบทางด้านประสิทธิภาพของกลัวยตากในระหว่างเก็บรักษา โดยแปรปรวนดัชนีของสารป้องกันการเกิดสีน้ำตาล สภาวะในการบรรจุ และเวลาในการเก็บรักษาต่างกัน

Source of variance	df	MS				
		ลักษณะ ปรากฏ	สี	กลืนรส	เนื้อสัมผัส	การยอม รับรวม
สารป้องกันการเกิดสีน้ำตาล (A)	4	0.80	6.06*	6.29*	4.81*	4.66*
สภาวะการบรรจุ (B)	1	0.46	2.26×10^{-2}	1.32×10^{-2}	4.28×10^{-3}	0.11
AB	4	0.12	0.10	1.64×10^{-2}	3.18×10^{-2}	4.29×10^{-2}
เวลา (C)	3	0.36	25.11*	19.52*	7.63*	20.24*
AC	12	0.26	8.72×10^{-2}	0.25	0.19	0.28
BC	3	0.61	0.18	9.25×10^{-2}	4.31×10^{-2}	3.87×10^{-2}
ABC	12	0.15	0.19	2.94×10^{-2}	3.39×10^{-2}	5.60×10^{-2}
ผู้ทดสอบ	19	6.80	4.06	4.62	5.64	4.97
Error	741	1.19	0.99	0.93	0.86	0.91

* แตกต่างกันอย่างมีนัยสำคัญ ($p<0.05$)

ประวัติผู้เขียนวิทยานิพนธ์

นางสาวสิริรัฐ สุดประเสริฐ เกิดวันที่ 8 กุมภาพันธ์ 2522 ที่จังหวัดนครราชสีมา สำเร็จการศึกษาระดับปริญญาวิทยาศาสตรบัณฑิต ภาควิชาวิทยาศาสตร์และเทคโนโลยีอาหาร คณะอุตสาหกรรมเกษตร มหาวิทยาลัยเกษตรศาสตร์ เมื่อปีการศึกษา 2542 และได้เข้าศึกษาต่อในระดับปริญญามหาบัณฑิตในสาขาวิชาเทคโนโลยีทางอาหาร ภาควิชาเทคโนโลยีทางอาหาร คณะวิทยาศาสตร์ จุฬาลงกรณ์มหาวิทยาลัย ในปีการศึกษา 2543



ศูนย์วิทยทรัพยากร
จุฬาลงกรณ์มหาวิทยาลัย